

Outline

- 1.概要
- 2.MASTER/SLAVE COMMAND GOVERNOR DEVICE
- 3.BASIC COMMAND GOVERNOR STRATEGY
- 4.DISTRIBUTED COMMAND GOVERNOR STRATEGY
- 5.シミュレーション
- 6.まとめ

3. BASIC COMMAND GOVERNOR STRATEGY

$$\begin{cases} x(t+1) = \Phi x(t) + Gw(t) + G_d d(t) \\ y(t) = H_y x(t) \\ c(t) = H_c x(t) + Lw(t) + L_d d(t) \end{cases}$$

線形性により初期状態と入力に依存する部分と外乱の影響による部分に分けることができるので

$$x(t) = \bar{x}(t) + \tilde{x}(t)$$

$\bar{x}(t)$: 初期状態と入力に依存する部分
 $\tilde{x}(t)$: 外乱の影響に依存する部分

$x(t)$ を上式のように分解する
 $c(t), y(t)$ も同様に分解する

3. BASIC COMMAND GOVERNOR STRATEGY

時刻 t において拘束を満たすには $c(t)$ がどこにあればよいか?

$$c(0) = \{\bar{c}(0) + L_d d(0)\} \in C$$

$L_d D$ で既に除去済み

$$c(1) = \bar{c}(1) + H_c G_d d(0) + L_d d(1)$$

$H_c G_d D$ で既に除去済み

$$c(2) = \bar{c}(2) + H_c \Phi G_d d(0) + H_c G_d d(1) + L_d d(2)$$

$$\begin{cases} C_0 := C \sim L_d D \\ C_k := C_{k-1} \sim H_c \Phi^{k-1} G_d D \\ C_\infty := \bigcap_{k=0}^{\infty} C_k \end{cases}$$

「 \sim 」は集合間の引き算を表す

これにより C における外乱の影響を除去した
 $\bar{c}(t)$ が C_∞ に含まれていれば $d(t)$ に対して拘束を満たす

3. BASIC COMMAND GOVERNOR STRATEGY

Consider for a small enough $\delta > 0$

$$B_\delta := \{c(t) \in \mathcal{R}^{n_c} \mid \|c(t)\| \leq \delta\}$$

$$C^\delta := C_\infty \sim B_\delta$$

$$W^\delta := \{w \in \mathcal{R}^m \mid \bar{c}_w \in C^\delta\}$$

constant command $w(t)$ のときにシステムの解
 $\bar{c}_w(t) = H_c (I_n - \Phi)^{-1} G w + L w$
 $\bar{x}_w(t)$

B_δ : 半径 δ のボール
 C^δ : C_∞ から微小余白をもった集合
 W^δ : 微小余白をもって拘束を満たす修正目標値 w の集合

3. BASIC COMMAND GOVERNOR STRATEGY

Definition: $V(x)$

$$V(x) = \{w \in W^\delta \mid \bar{c}(k, x, w) \in C_k, \forall k \in \mathbf{Z}_+\}$$

$$\bar{c}(k, x, w) := H_c \left(\Phi^k x + \sum_{i=0}^{k-1} \Phi^{k-i-1} G w \right) + L w$$

$$x(1) = \Phi x(0) + G w$$

$$x(2) = \Phi^2 x(0) + \Phi G w + G w$$

$$x(k) = \Phi^k x(0) + \sum_{i=0}^{k-1} \Phi^{k-i-1} G w$$

状態 x に対して全ての時刻 k において拘束を満たす修正目標値 w の集合

$V(x) \subset W^\delta$

3. BASIC COMMAND GOVERNOR STRATEGY

The CG output is chosen according to the solution of the following constrained optimization problem

$$w(t) = \arg \min_{w \in V(x(t))} \|w - r\|_\Psi^2$$

$\|w - r\|_\Psi^2$ を最少にする w を返す

Definition: $\|w\|_\Psi^2 := x^T \Psi x$
 Ψ は重み

システムが漸近安定で $r(t) \equiv r$ のとき $w(t)$ は有限時間で r が V の最適近似に収束する

$$w(t) \rightarrow \hat{r} := \arg \min_{w \in W^\delta} \|w - r\|_\Psi^2$$

結果として offset free という条件より

$$\lim_{t \rightarrow \infty} \bar{y}(t) = \hat{r}$$

r が拘束外にある場合

Outline

- 1.概要
- 2.MASTER/SLAVE COMMAND GOVERNOR DEVICE
- 3.BASIC COMMAND GOVERNOR STRATEGY
- 4.DISTRIBUTED COMMAND GOVERNOR STRATEGY
- 5.シミュレーション
- 6.まとめ

4.DISTRIBUTED COMMAND GOVERNOR STRATEGY

Definition: $Y(t-1)$ t_b : 情報取得時刻

$Y(t-1)$ はMasterで時刻(t-1)まで計算され
時刻 $t_b \sim (t+\bar{\tau}_f-1)$ の間に入力される修正目標値の集合
 $\rightarrow Y(t-1) = \{w(t_b), \hat{w}(t_b - \bar{\tau}_f + 1, t_b + 1), \dots, \hat{w}(t-1, t + \bar{\tau}_f - 1)\}$
 $\hookrightarrow \hat{w}(t_b - \bar{\tau}_f, t_b)$

Definition: $\Pi(t + \bar{\tau}_f - 1 | t_b)$

$\Pi(t + \bar{\tau}_f - 1 | t_b)$ は $Y(t-1)$ に含まれる修正目標値で
時刻 $t_b \sim (t + \bar{\tau}_f - 1)$ までの修正目標値列を全て集めた集合

example

t_b 以降に情報が受信できなかったとき
 $\rightarrow \Pi(t + \bar{\tau}_f - 1 | t_b) \in \{w(t_b), w(t_b), \dots, w(t_b)\}$

$t_b + 1$ 以降に情報が受信できなかったとき
 $\rightarrow \Pi(t + \bar{\tau}_f - 1 | t_b) \in \{w(t_b), \hat{w}(t_b - \bar{\tau}_f + 1, t_b + 1), \dots, \hat{w}(t_b - \bar{\tau}_f + 1, t_b + 1)\}$

4.DISTRIBUTED COMMAND GOVERNOR STRATEGY

$\Pi(t + \bar{\tau}_f - 1 | t_b)$ を用いると $\bar{X}(t + \bar{\tau}_f | t_b)$ は以下のように表せる

$$\bar{X}(t + \bar{\tau}_f | t_b) := \bigcup_{w(\cdot) \in \Pi(t + \bar{\tau}_f - 1 | t_b)} (\Phi^{t + \bar{\tau}_f - t_b} x(t_b) + \sum_{i=t_b}^{t + \bar{\tau}_f - 1} \Phi^{t + \bar{\tau}_f - i - 1} Gw(i))$$

constant command $w(t)$ における \bar{x}, \bar{c} は

$$\begin{cases} \bar{x}(k, \bar{X}(t + \bar{\tau}_f | t_b), w) := \Phi^k \bar{X}(t + \bar{\tau}_f | t_b) + \sum_{i=0}^{k-1} \Phi^{k-i-1} Gw \\ \bar{c}(k, \bar{X}(t + \bar{\tau}_f | t_b), w) := H_c \bar{x}(k, \bar{X}(t + \bar{\tau}_f | t_b), w) \Phi^k + Lw \end{cases}$$

$V(x)$ の一般形は

$$V(\bar{X}(t + \bar{\tau}_f | t_b)) = \{w \in W^\delta : \bar{c}(k, \bar{X}(t + \bar{\tau}_f | t_b), w) \subset C_k, \forall k\}$$

4.DISTRIBUTED COMMAND GOVERNOR STRATEGY

F_1 の中身は

$$\hat{w}(t, t + \bar{\tau}_f) = \begin{cases} \arg \min_{w \in V(\bar{X}(t + \bar{\tau}_f | t_b))} \|w - r(t + \bar{\tau}_f)\|_\Phi^2 \\ \text{if } V(\bar{X}(t + \bar{\tau}_f | t_b)) \text{ nonempty} \\ \text{Take appropriate actions otherwise} \end{cases}$$

F_2 の中身は

$$w(t) = \begin{cases} \hat{w}(\cdot, t) & \text{if available and } \|\hat{w}(\cdot, t) - r(t)\|_{\Psi_w}^2 < \|w(t-1) - r(t)\|_{\Psi_w}^2 \\ w(t-1) & \text{otherwise} \end{cases}$$

新しいコマンド 前回のコマンド

Outline

- 1.概要
- 2.MASTER/SLAVE COMMAND GOVERNOR DEVICE
- 3.BASIC COMMAND GOVERNOR STRATEGY
- 4.DISTRIBUTED COMMAND GOVERNOR STRATEGY
- 5.シミュレーション
- 6.まとめ

5.シミュレーション

Lowest Data Redundance strategy
時間遅れが有界と仮定したときに用いられる

Merit: 情報が時間どおりに届くと仮定しているので
 $\rightarrow \bar{X}(t + \bar{\tau}_f | t_b) = \{x(t + \bar{\tau}_f | t_b)\}$
 計算負荷 少

Demerit: Abnormal caseの場合、追従性能が悪化

Highest Data Redundance strategy
時間遅れが有界でないとして仮定したときに用いられる

Merit: Abnormal caseでも追従性能が劣化しない

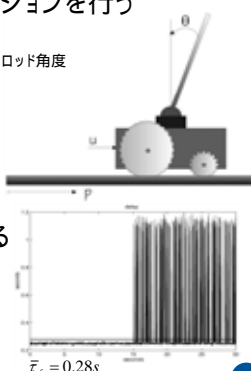
Demerit: 計算負荷 大

5. シミュレーション

Tokyo Institute of Technology

倒立振り子についてシミュレーションを行う

$$\begin{cases} p(t) \in [-0.35, 0.35]m & \text{:位置} \\ \theta(t) \in [-0.08732, 0.08732]rad = [-5, 5]^\circ & \text{:ロッド角度} \\ u(t) \in [-4.95, 4.95]V & \text{:入力} \end{cases}$$

$$x(t) = \begin{pmatrix} x_1(t) \\ x_2(t) \\ x_3(t) \\ x_4(t) \end{pmatrix} = \begin{pmatrix} p(t) \\ \dot{p}(t) \\ \theta(t) \\ \dot{\theta}(t) \end{pmatrix}$$


時間遅れは右図のようだとする

Normal case : 0 ~ 15[sec]

Abnormal case : 15 ~ [sec]

$\bar{\tau}_j = 0.28s$

Tokyo Institute of Technology Fajita Laboratory 25

5. シミュレーション

Tokyo Institute of Technology

$x_e = [r, 0, 0, 0]$ で線形化をする
(r はcartの位置)

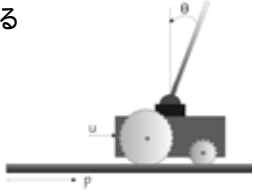
Sampling time: 20ms

$$\begin{cases} x(t+1) = Ax(t) + Bu(t) \\ y(t) = Cx(t) \end{cases}$$

$K_{LQ} = [k_1, k_2, k_3, k_4]$: feedback gain

$$u(t) = K_{LQ}[r(t) - p(t), -\dot{p}(t), \theta(t), \dot{\theta}(t)]^T = k_1 r(t) - K_{LQ}x(t)$$

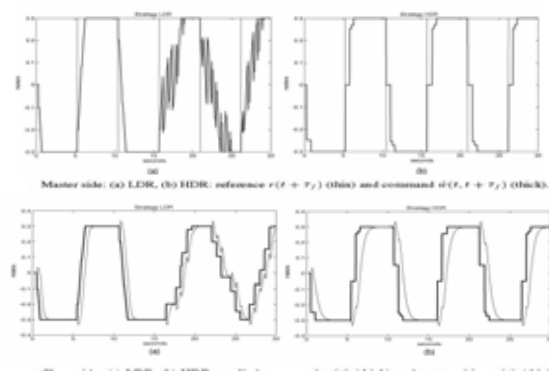
閉ループ系は

$$\begin{cases} x(t+1) = \frac{A - BK_{LQ}}{\Phi} x(t) + \frac{Bk_1}{G} r(t) \\ y(t) = \frac{C}{H} x(t) \end{cases}$$


Tokyo Institute of Technology Fajita Laboratory 26

5. シミュレーション

Tokyo Institute of Technology



Master side: (a) LDR, (b) HDR: reference $r(t + \tau_j)$ (thin) and command $v(t + \tau_j)$ (thick).

Slave side: (a) LDR, (b) HDR: applied command $w(t)$ (thick) and cart position $p(t)$ (thin).

Tokyo Institute of Technology Fajita Laboratory 27

6. まとめ

Tokyo Institute of Technology

発表内容

teleoperationの概要

CGの説明と設計

シミュレーション

References

Alessandro Casavola, Member, IEEE, Edoardo Mosca, Fellow, IEEE, and Maurizio Papini
 "Predictive Teleoperation of Constrained Dynamic Systems Via Internet-Like Channels"
 IEEE TRANSACTIONS ON CONTROL SYSTEMS TECHNOLOGY, VOL. 14, NO. 4, JULY 2006

Tokyo Institute of Technology Fajita Laboratory 28